

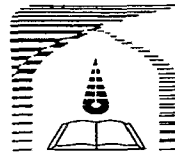
ΛΛΙΛΙοΛΛΥ

1917
H. J.
—



1.9915

۱۰۸۷۹۲ / ۱ / ۱۷



دانشگاه تربیت مدرس

دانشکده فنی و مهندسی

بخش مهندسی مواد - گروه شناسایی و انتخاب مواد

پایان نامه دوره کارشناسی ارشد مهندسی مواد - شناسایی و انتخاب مواد

بررسی جوش پذیری سوپرآلیاژ پایه نیکل Inconel 713LC

امیر رضا فرنیا

استاد راهنما:

دکتر فرشید مالک قایینی



استاد مشاور:

دکتر امیر عبدالله زاده

۱۷ / ۱۷ / ۱۳۸۸

شهریور ۱۳۸۶

۱۰۹۹۸۵

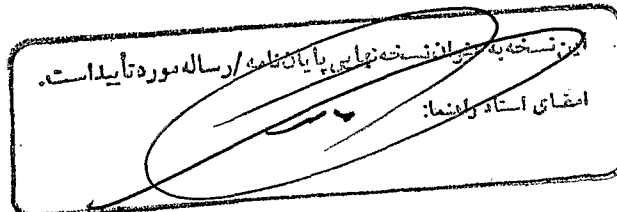


بسم الله تعالى

تاییدیه اعضای هیات داوران حاضر در جلسه دفاع از پایان

آقای امیر رضا فرنیا پایان نامه ۸ واحدی خود را با عنوان بررسی جوش پذیری سوپرآلیاژ پایه نیکل Inconel ۷۱۳LC در تاریخ ۱۳۸۶/۷/۲۵ ارائه کردند.
اعضای هیات داوران نسخه نهایی این پایان نامه را از نظر فرم و محتوا تایید کرده و پذیرش آنرا برای تکمیل درجه کارشناسی ارشد مهندسی مواد - شناسائی پیشنهاد می کنند.

عضو هیات داوران	نام و نام خانوادگی	زمینه علمی	اعضای
استاد راهنمای	دکتر فرشید مالک قائیمی	استادیار	
استاد مشاور	دکتر امیر عبدالله زاده	دانشیار	
استاد ناظر	دکتر حمید رضا شاهوری	استادیار	
استاد ناظر	دکتر امیر حسین کوکبی	استاد	
مدیر گروه (یا نماینده گروه تخصصی)	دکتر حمید رضا شاهوری	استادیار	



۱۳۸۸/۱/۱۴

آیین نامه حق مالکیت مادی و معنوی در مورد نتایج پژوهش‌های علمی دانشگاه

تربیت مدرس

مقدمه: با عنایت به سیاست‌های پژوهشی و فناوری دانشگاه در راستای تحقق عدالت و کرامت انسانها که لازمه شکوفایی علمی و فنی است و رعایت حقوق مادی و معنوی دانشگاه و پژوهشگران، لازم است اعضای هیأت علمی، دانشجویان، دانشآموختگان و دیگر همکاران طرح، در مورد نتایج پژوهش‌های علمی که تحت عنوانین پایان‌نامه، رساله و طرحهای تحقیقاتی با هماهنگی دانشگاه انجام شده است، موارد زیر را رعایت نمایند:

ماده ۱- حق نشر و تکثیر پایان‌نامه/ رساله و درآمدهای حاصل از آنها متعلق به دانشگاه می‌باشد ولی حقوق معنوی پدید آورندگان محفوظ خواهد بود.

ماده ۲- انتشار مقاله یا مقالات مستخرج از پایان‌نامه/ رساله به صورت چاپ در نشریات علمی و یا ارائه در مجتمع علمی باید به نام دانشگاه بوده و با تایید استاد راهنمای اصلی، یکی از استادی راهنمای، مشاور و یا دانشجوی مسئول مکاتبات مقاله باشد. ولی مسئولیت علمی مقاله مستخرج از پایان‌نامه و رساله به عهده استادی راهنمای و دانشجو می‌باشد.

تبصره: در مقالاتی که پس از دانشآموختگی بصورت ترکیبی از اطلاعات جدید و نتایج حاصل از پایان‌نامه/ رساله نیز منتشر می‌شود نیز باید نام دانشگاه درج شود.

ماده ۳- انتشار کتاب و یا نرم افزار و یا آثار ویژه حاصل از نتایج پایان‌نامه/ رساله و تمامی طرحهای تحقیقاتی کلیه واحدهای دانشگاه اعم از دانشکده‌ها، مرکز تحقیقاتی، پژوهشکده‌ها، پارک علم و فناوری و دیگر واحدها باید با مجوز کتبی صادره از معاونت پژوهشی دانشگاه و براساس آئین نامه‌های مصوب انجام شود.

ماده ۴- ثبت اختراع و تدوین دانش فنی و یا ارائه یافته‌ها در جشنواره‌های ملی، منطقه‌ای و بین‌المللی که حاصل نتایج مستخرج از پایان‌نامه/ رساله و تمامی طرح‌های تحقیقاتی دانشگاه باید با هماهنگی استاد راهنمای ایامی طرح از طریق معاونت پژوهشی دانشگاه انجام گیرد.

ماده ۵- این آیین‌نامه در ۵ ماده و یک تبصره در تاریخ ۸۷/۴/۱ در شورای پژوهشی و در تاریخ ۸۷/۴/۲۳ در هیأت رئیسه دانشگاه به تایید رسید و در جلسه مورخ ۸۷/۷/۱۵ شورای دانشگاه به تصویب رسیده و از تاریخ تصویب در شورای دانشگاه لازم‌الاجرا است.



آیین نامه چاپ پایان نامه (رساله) های دانشجویان دانشگاه تربیت مدرس

نظر به اینکه چاپ و انتشار پایان نامه (رساله) های تحصیلی دانشجویان دانشگاه تربیت مدرس، مبین بخشی از فعالیتهای علمی - پژوهشی دانشگاه است بنابراین به منظور آگاهی و رعایت حقوق دانشگاه، دانش آموختگان این دانشگاه نسبت به رعایت موارد ذیل متعهد می شوند:

ماده ۱: در صورت اقدام به چاپ پایان نامه (رساله) ای خود، مراتب را قبلاً به طور کتبی به «دفتر نشر آثار علمی» دانشگاه اطلاع دهد.

ماده ۲: در صفحه سوم کتاب (پس از برگ شناسنامه) عبارت ذیل را چاپ کند:

«کتاب حاضر، حاصل پایان نامه کارشناسی ارشد / رساله دکتری نگارنده در رشته منسوزداری است که در

سال ۱۳۸۶ در دانشکده فن و هنر دانشگاه تربیت مدرس به راهنمایی سرکار

خانم/جناب آقای دکتر فریده مالک ماسنی مشاوره سرکار خانم/جناب آقای دکتر امیرعبدالهزاره

و مشاوره سرکار خانم/جناب آقای دکتر امیرعباسی از آن

دفاع شده است.»

ماده ۳: به منظور جبران بخشی از هزینه های انتشارات دانشگاه، تعداد یک درصد شمارگان کتاب (در هر نوبت چاپ) را به «دفتر نشر آثار علمی» دانشگاه اهدا کند. دانشگاه می تواند مازاد نیاز خود را به نفع مرکز نشر درمعرض فروش قرار دهد.

ماده ۴: در صورت عدم رعایت ماده ۳، ۵۰٪ بهای شمارگان چاپ شده را به عنوان خسارت به دانشگاه تربیت مدرس، تأديه کند.

ماده ۵: دانشجو تعهد و قبول می کند در صورت خودداری از پرداخت بهای خسارت، دانشگاه می تواند خسارت مذکور را از طریق مراجع قضایی مطالبه و وصول کند؛ به علاوه به دانشگاه حق می دهد به منظور استیفاده حقوق خود، از طریق دادگاه، معادل وجه مذکور در ماده ۴ را از محل توقیف کتابهای عرضه شده نگارنده برای فروش، تامین نماید.

ماده ۶: این جانب امیرضا فرستاده - کارشناس ارشد مقطع

تعهد فوق وضمانات اجرایی آن را قبول کرده، به آن ملتزم می شوم.

تاریخ و امضا:



نام و نام خانوادگی: امیرضا فرستاده

تقدیم به پدر و مادر عزیزم

اسوه های صبر و ایثار

و مام میهنم ایران

تشکر و قدردانی

پروردگار منان را سپاس می‌گویم که به لطف و مددش موفق به اتمام این پروژه و در پی آن این دوره تحصیلی گشته‌ام. همچنین بر خود واجب می‌دانم از تمام بزرگوارانی که در این مسیر همراهم بوده‌اند، تشکر نمایم. پیش از همه تشکر ویژه‌ای دارم از استاد ارجمند جناب آقای دکتر فرشید مالک به خاطر زحمات، راهنمایی‌ها و کمک‌های ایشان. چه بسا بدون راهنمایی‌های استادانه و دلسوزی‌های پدرانه ایشان، انجام این پروژه مقدور نبود. همچنین از جناب آقای دکتر امیرعبداللهزاده، که در طول کار از مشورت با ایشان استفاده فراوانی بردم، نیز کمال امتنان و سپاس را دارم.

بدینوسیله مراتب سپاس و تشکر خود را از عزیزانم در صنایع ریخته‌گری شهید جهان‌آرا (صنایع مکانیک) بویژه جناب آقایان مهندس اسلامی و مهندس نوروزی و نیز شرکت پایاپرتو بویژه جناب آقایان دکتر صباح‌زاده و مهندس ترکمنی به خاطر حمایت‌های بی‌شائبه‌شان اعلام می‌دارم.

از دوست و برادر عزیزم آقای مهندس مجتبی متظری نیز نهایت سپاس را دارم که در تمام مراحل با حضوری روحیه‌بخش در کنارم بود. همچنین از تمام دوستانم در واحد R&D صنایع شهید جهان‌آرا بخصوص دوست خوبم آقای مهندس حسین انصاری در آزمایشگاه متالوگرافی که نهایت همکاری را با بنده داشتند، تشکر می‌کنم.

امیررضا فریبا
تابستان ۱۳۸۶

چکیده:

سوپرآلیاژهای پایه نیکل استحکام یافته با رسوبات^۱ استعداد بالایی به ترکیدگی در حین جوشکاری دارند. آلیاژ Inconel 713LC یک سوپرآلیاژ ریختگی پایه نیکل کم کربن است که معمولاً بدون انجام هرگونه عملیات حرارتی استفاده می‌شود. از آن جا تولید این قطعات بسیار هزینه بر می‌باشد، لذا تعمیر قطعات معیوب به وسیله جوشکاری - چه در حین تولید و چه در حین سروپس - می‌تواند در صورت امکان از ارزش افزوده بالایی برخوردار باشد. در این تحقیق از دو روش جوشکاری GTAW و جوشکاری لیزر استفاده شد. بررسی جوشپذیری این آلیاژ و پاسخ آن به ذوب و انجماد از طریق بررسی ترکیدگی و ریزساختار با اعمال روش‌ها و پارامترهای مختلف جوشکاری GTAW و لیزر پالسی و ایجاد شرایط ساختاری متفاوت قبل از جوشکاری از طریق عملیات حرارتی انحلالی و کنترل نرخ سرد شدن از طریق پیشگرم در دستور کار قرار گرفت. نتایج بررسی‌ها نشان داد که با کاهش حرارت ورودی ترکها از ناحیه متاثر از جوش به داخل فلز جوش شیفت پیدا می‌کنند. ترکیبات غنی از Nb و Zr به عنوان آخرین اجزای انجمادی در حوضچه مذاب معرفی گردید و ذوب ترکیبی کاربیدهای NbC عامل اصلی در ترکیدگی HAZ شناخته شد. همچنین افزایش توان متوسط در جوشکاری لیزر باعث کاهش در ترکیدگی انجمادی و حفرات گردید. افزایش سرعت جوشکاری در جوشکاری لیزر باعث افزایش ترکیدگی انجمادی و حفرات شد. اجرای عملیات حرارتی انحلالی پیش از جوشکاری باعث کاهش ترکیدگی انجمادی در جوشهای لیزر شد. انجام پیشگرم باعث کاهش ترکیدگی انجمادی و حفرات در جوشهای لیزر شد. در جوشکاری لیزر عرض HAZ در حدود چند ده میکرون تخمین زده شد و ترکی در این ناحیه مشاهده نشد.

واژه‌های کلیدی: جوشکاری GTAW ، جوشکاری لیزر، سوپرآلیاژ، Inconel 713LC، ترک گرم، جوش پذیری

فهرست عناوین

صفحه	عنوان
۱	فصل اول: مقدمه
۵	فصل دوم: مروری بر منابع
۵	۲-۱- بررسی ریزساختار سوپرآلیاژهای پایه نیکل
۲۰	۲-۲- کلیاتی در مورد جوشکاری سوپرآلیاژها
۲۱	۲-۳- آماده سازی برای جوشکاری
۲۲	۲-۴- فلزپرکننده
۲۳	۲-۵- مشکلات همراه با جوشکاری سوپرآلیاژها
۲۴	۲-۶- انحلال رسوبات و افت استحکام در جوشکاری سوپرآلیاژهای پایه نیکلی رسوب سخت
۲۶	۲-۷- میکروساختار HAZ
۲۷	۲-۸- عملیات حرارتی پیش از جوش
۲۷	۲-۹- روشهای جوشکاری
۲۹	۲-۱۰- جوشکاری تعمیری
۳۱	۲-۱۱- جوشکاری تعمیری پره های توربین
۳۵	۲-۱۲- جوش پذیری سوپرآلیاژها
۳۶	۲-۱۲-۱- دیاگرام های ارزیابی جوش پذیری
۳۸	۲-۱۲-۲- تست داکتیلیته گرم
۴۴	۲-۱۳- توالی انجامداد در آلیاژ IN713LC
۴۹	۲-۱۴-۱- ترک گرم در سوپرآلیاژها
۴۸	۲-۱۴-۲- ترکیدگی انجامدادی
۶۳	۲-۱۴-۲-۲- ترکیدگی ذوبی در HAZ
۸۱	۲-۱۵- ترکیدگی پیرکرنشی
۸۳	فصل سوم: روش انجام تحقیق
۸۳	۳-۱- مقدمه
۸۳	۳-۲- بررسی ریزساختار سوپرآلیاژ ریختگی IN713LC
۸۴	۳-۳- تهیه نمونه ها
۸۵	۴-۴- اجرای فرآیند جوشکاری GTAW در اتمسفر محافظ
۸۶	۵-۵- انجام عملیات حرارتی آنیل انحلالی
۸۷	۶-۶- اجرای فرآیند جوشکاری لیزر پالسی
۸۹	۷-۷- بررسیهای متالوگرافی نمونه های جوشکاری و عملیات حرارتی شده
۹۰	۸-۸- بررسی آماری ترکها و حفرات ایجاد شده در جوش

فهرست عناوین

صفحه	عنوان
۹۱	فصل چهارم: نتایج و بحث
۹۱	۱-۱- بررسی ریز ساختار آلیاز IN713LC
۹۹	۲-۴- ساختارهای عملیات حرارتی شده
۹۹	۳-۴- ۱- نمونه های عملیات حرارتی شده انحلالی در 1120°C
۱۰۰	۳-۴- ۲- نمونه های عملیات حرارتی شده انحلالی در 1150°C
۱۰۱	۳-۴- ۳- نمونه های عملیات حرارتی شده انحلالی در 1180°C
۱۰۲	۳-۴- ۴- نمونه های عملیات حرارتی شده انحلالی در 1200°C
۱۰۳	۳-۴- ۵- بررسی متالورژیکی نمونه های جوشکاری شده
۱۰۴	۴-۱- روش GTAW
۱۰۸	۴-۲- روش لیزر پالسی
۱۱۶	۴-۳- مطالعه آماری ترکیدگی در جوش
۱۲۴	فصل پنجم: نتیجه گیری و پیشنهادات
۱۲۴	۱-۵- نتیجه گیری
۱۲۵	۲-۵- پیشنهادات
۱۲۶	منابع و مراجع

فهرست جداول و نمودارها

صفحة	جدول و نمودار
٤٧	جدول ۱-۲ - ترکیب شیمیایی آلیاژ Inconel 713LC مورد استفاده در تحقیق souza
٨٥	جدول ۱-۳ - شرایط ریختگی نمونه ها
٨٦	جدول ۲-۳ - پارامترهای تعیین شده جوشکاری TIG
٨٨	جدول ۳-۳ - پارامترهای جوشکاری لیزر با سرعت متغیر
٨٨	جدول ۴-۳ - پارامترهای جوشکاری لیزر با توان متغیر
٨٨	جدول ۵-۳ - پارامترهای جوشکاری لیزر بدون پیشگرم
٨٩	جدول ۶-۳ - پارامترهای جوشکاری با پیشگرم C $450 - 500^{\circ}\text{C}$
٩١	جدول ۱-۴ - ترکیب شیمیایی آلیاژ Inconel 713LC
٩٥	جدول ۲-۴ - آنالیز عنصری منطقه مشخص شده در شکل ۴
٩٥	جدول ۳-۴ - آنالیز عنصری منطقه مشخص شده در شکل ۴
٩٦	جدول ۴-۴ - آنالیز عنصری منطقه مشخص شده در شکل ۴
٩٧	جدول ۵-۴ - آنالیز عنصری منطقه مشخص شده در شکل ۴
١٠٧	جدول ۶-۴ - آنالیز عنصری ناحیه مشخص شده در شکل ۴
١٠٧	جدول ۷-۴ - آنالیز عنصری ناحیه مشخص شده در شکل ۴
١٠٨	جدول ۸-۴ - آنالیز عنصری نواحی مشخص شده در شکل ۴
١١١	جدول ۹-۴ - آنالیز عنصری نواحی مشخص شده در شکل ۴
١١٢	جدول ۱۰-۴ - آنالیز عنصری نواحی مشخص شده در شکل ۴
١١٣	جدول ۱۱-۴ - آنالیز عنصری نواحی مشخص شده در شکل ۴
١١٤	جدول ۱۲-۴ - آنالیز عنصری نواحی مشخص شده در شکل ۴
١١٥	جدول ۱۳-۴ - آنالیز عنصری نواحی مشخص شده در شکل ۴
١١٦	جدول ۱۴-۴ - آنالیز عنصری نواحی مشخص شده در شکل ۴
١١٧	جدول ۱۵-۴ - پارامترهای تعیین شده جوشکاری TIG
١١٧	نمودار ۱-۴ - اثر افزایش حرارت ورودی بر ترکیدگی جوش TIG
١١٨	جدول ۱۶-۴ - پارامترهای جوشکاری لیزر با توان متغیر
١١٨	نمودار ۲-۴ - اثر افزایش توان متوسط بر ترکیدگی فلز جوش
١١٩	نمودار ۳-۴ - اثر افزایش توان متوسط بر تعداد حفرات در فلز جوش
۱۲۰	جدول ۱۷-۴ - پارامترهای جوشکاری لیزر با سرعت متغیر
۱۲۰	نمودار ۴-۴ - اثر افزایش سرعت جوشکاری بر ترکیدگی فلز جوش
۱۲۱	نمودار ۵-۴ - اثر افزایش سرعت جوشکاری بر تعداد حفرات در فلز جوش
۱۲۱	جدول ۱۸-۴ - پارامترهای جوشکاری لیزر نمونه های مورد استفاده در بررسی اثر پیشگرم $450-500^{\circ}\text{C}$ بر جوشپذیری
۱۲۲	نمودار ۶-۴ - اثر پیشگرم بر ترکیدگی فلز جوش در نمونه های عملیات حرارتی شده انحلالی
۱۲۲	نمودار ۷-۴ - اثر پیشگرم بر تعداد حفرات در فلز جوش در نمونه های عملیات حرارتی شده انحلالی
۱۲۳	جدول ۴-۱۹ - پارامترهای جوشکاری لیزر نمونه های مورد استفاده در بررسی اثر عملیات حرارتی انحلالی بر جوشپذیری

فهرست جداول و نمودارها

جدول و نمودار

صفحه

نمودار ۴-۸- اثر عملیات حرارتی انحلال بر ترکیدگی فلز جوش..... ۱۲۳

فهرست تصاویر

صفحه	تصویر
۳	شکل ۱-۱- مقایسه جوش پذیری سوپرآلیاژهای مختلف
۱۱	شکل ۱-۲- یوتکتیک γ - MC در نزدیکی نواحی جوشکاری شده
۱۱	شکل ۲-۲- مورفولوژی کاربید MC
۱۲	شکل ۳-۲- مراحل تبدیل MC به $M_{23}C_6$ (از راست به چپ)
۱۷	شکل ۴-۲- مورفولوژی فاز سیگما
۲۵	شکل ۵-۲ - انحال گامابرایم در HAZ به همراه دیاگرام فازی، سیکل حرارتی، منحنی C شکل رسوب دهی، میکروساختار و افت سختی
۲۵	شکل ۶-۲ - پروفیل سختی جوشهای GTA و لیزر IN718 در شرایط پس از جوشکاری
۲۶	شکل ۷-۲ - میکروساختار فلز پایه و نقاط مختلف HAZ آلیاژ Udimet700
۲۸	شکل ۸-۲ - جوش غیر همجنسب IN718 به فولاد زنگ نزن آستنیتی به روش جوشکاری باریکه الکترونی
۲۸	شکل ۹-۲ - مقایسه نفوذ جوش باریکه الکترونی و TIG
۳۰	شکل ۱۰-۲ - تعمیر قطعه بزرگ ریخته گری دقیق از جنس IN939
۳۰	شکل ۱۱-۲ - مقطع جوش تعمیری شکل قبل دارای ترکیدگی HAZ
۳۱	شکل ۱۲-۲ - پروفیل دمایی و میدان تنشی پره های Free Standing (بدون شرود)
۳۲	شکل ۱۳-۲ - پروفیل دمایی و میدان تنشی پره های دارای شرود
۳۲	شکل ۱۴-۲ - آسیب های معمول ایرفویل پره ها
۳۳	شکل ۱۵-۲ - تنشهای همراه با جوشهای تعمیری پس از قرار گیری در توربین
۳۴	شکل ۱۶-۲ - محدودیتهای جوش تعمیری پره ردیف اول GE MS7000
۳۴	شکل ۱۷-۲ - محدودیتهای جوش تعمیری پره ردیف اول و دوم Westinghouse W501
۳۵	شکل ۱۸-۲ - محدودیتهای جوش تعمیری پره شروددار ردیف سوم GE MS7000 (تعمیر در ایرفویل مجاز نمی باشد)
۳۷	شکل ۱۹-۲ - تاثیر Al و Ti بر جوشپذیری سوپرآلیاژها
۳۸	شکل ۲۰-۲ - دیاگرام جوش پذیری IN718
۳۹	شکل ۲۱-۲ - نمودارهای داکتیلیته گرم برای Inconel 600
۴۱	شکل ۲۲-۲ - (a) داکتیلیته اختیاری مینیمم (نرخ بازیابی داکتیلیته c) بازه داکتیلیته صفر (d) داکتیلیته بازه دمایی میانی مورد استفاده در معیار حساسیت به ترک
۴۲	شکل ۲۳-۲ - ایزوترمهای اطراف حوضچه جوش متحرک
۴۲	شکل ۲۴-۲ - (a) خطوط استحکام تسلیم و تنش صفر در ناحیه HAZ (b) خط استحکام تسلیم و سطح داکتیلیته صفر برای یک آلیاژ مقاوم به ترک (c) خط استحکام تسلیم و سطح داکتیلیته صفر برای یک آلیاژ حساس به ترک (d) خط استحکام تسلیم و یک بازه دمای میانی که به سمت داکتیلیته صفر میل می کند
۴۴	شکل ۲۵-۲ - تشکیل یوتکتیک γ-γ در مرحله آخر انجماد در ترکیدگی گرم
۴۵	شکل ۲۶-۲ - گوشه غنی از نیکل سیستم سه تایی Ni-Ti-C (تاثیر میزان کربن بر مسیر انجماد)
۴۵	شکل ۲۷-۲ - تصویر شماتیک ناحیه حساس به ترک گرم در منطقه خمیری حین انجماد ستونی-دندریتی تک کریستال
۵۰	

فهرست تصاویر

صفحه	تصویر
۵۱	شکل ۲-۲۸-۲-برهمکنش پیچیده پارامترهای فرآیند موثر بر ترکیدگی انجمادی جوش.....
۵۲	شکل ۲-۲۹-۲-تصویر شماتیک مراحل انجمادی دندریتی ^a و ^b (بازگشت مذاب) فیلم نازک مذاب
۵۳	۵۰ ^c) پیوستگی دندریتی.....
۵۴	شکل ۳-۳۰-۲-میکروساختار انجمادی در بین دندریتهای آلیاژ ریختگی.....
۵۴	شکل ۳-۳۱-۲-توزيع مذاب در مرز دانه و تاثیر آن بر ترکیدگی انجمادی.....
۵۶	شکل ۳-۳۲-۲-اثر توزیع پیوسته و ناپیوسته مذاب در مرزدانه بر ترکیدگی انجمادی.....
۵۷	شکل ۳-۳۴-۲- تصویر شماتیک مقایسه ساختار دانه بین (a) انجماد آستنیتی و (b) انجماد فریتی
۵۸	شکل ۳-۳۵-۲-مرزهای جاذب و دافع در انجماد ستونی.....
۶۰	شکل ۳-۳۶-۲-اثر زاویه مرزدانه بر ترکیدگی انجمادی.....
۶۰	شکل ۳-۳۷-۲-ترکیدگی انجمادی در جوش لیزر آلیاژ IC6.....
۶۲	شکل ۳-۳۸-۲-تاثیر میدانهای تنشی بر ترکیدگی انجمادی.....
۶۳	شکل ۳-۳۹-۲-منحنی داکتیلیتی و بازه دمایی تردی.....
۶۴	شکل ۴-۰-۲-مورفولوژی زیگزاگی ترک ذوبی در HAZ آلیاژ IN738 (راست) و آلیاژ IN718 (چپ)
۶۶	شکل ۴-۱-۲-درصد وزنی گاما پرایم بر حسب دما در نرخهای گرمایش متفاوت.....
۶۶	شکل ۴-۲-۲-درصد وزنی گاما پرایم باقی مانده در شروع ذوب بر حسب نرخ گرمایش برای اندازه اولیه ذرات متفاوت.....
۶۷	شکل ۴-۳-۲-دمای تشکیل مذاب بر حسب نرخ گرمایش برای اندازه اولیه ذرات متفاوت.....
۶۹	شکل ۴-۴-۲-ترک ذوبی جوش لیزر آلیاژ IN738 ناشی از ذوب ترکیبی کاربیدهای MC
۷۰	شکل ۴-۵-۲-ترک ذوبی در آلیاژ IC6 (راست) و آلیاژ IN738 (چپ) ناشی از ذوب ترکیبی رسوبات ^۱ و یوتکتیک ^۲
۷۰	شکل ۴-۶-۲-ترک ذوبی جوش لیزر آلیاژ IN738 ناشی از ذوب ترکیبی کاربیدهای یوتکتیک ^۳ - ^۷ که معمولاً با فازهای دیگری مانند برایدها و سولفوبرایدها همراه است.....
۷۰	شکل ۴-۷-۲-ترک ذوبی جوش لیزر آلیاژ IN738 ناشی از ذوب ترکیبی گامای بین دانه ای.....
۷۱	شکل ۴-۸-۲-تغییرات مورفولوژیکی رسوبات گاما پرایم در جوش EB آلیاژ IN713C
۷۶	شکل ۴-۹-۲-پدیده LFM در مرزدانه های IN738 HAZ
۷۹	شکل ۵-۰-۲-تشکیل محصولات انجماد یافته نهایی ثانویه غنی از Nb در مرزهای ترمیم شده به وسیله بازگشت مذاب که بوسیله محلول تک فاز ^۷ انجماد مجدد یافته، احاطه شده است. آلیاژ 718 IN
۸۰	شکل ۵-۱-۲-گسترش ترک در میان اجزاء انجماد مجدد یافته در مرزهای ترمیم شده
۸۱	شکل ۵-۲-۲-ترکیدگی HAZ فقط در مرزهای تصادفی
۸۱	شکل ۵-۳-۲-توقف ترک HAZ در مرزیا زاویه کم
۸۴	شکل ۵-۳-۱-میکروسکوپ الکترونی (راست) و دستگاه لایه نشانی طلا (چپ) مورد استفاده در تحقیق حاضر
۸۵	شکل ۵-۲-۳-فرآیند تولید مدل و قالب ریختگی نمونه ها
۸۶	شکل ۵-۳-۳-نمونه جوشکاری شده به روش GTAW تحت اتمسفر محافظ
۸۷	شکل ۵-۴-۳-چیدمان آزمایشگاهی مورد استفاده در تحقیق
۸۷	شکل ۵-۵-۳-فیکسچر

فهرست تصاویر

صفحه	تصویر
۸۹	شکل ۳-۶- نمونه های طولی.....
۹۳	شکل ۱-۴ - توزیع کاربیدها و حفرات انقباضی - کاربیدها بیشتر در مرزدانه ها تجمع دارند.....
۹۳	شکل ۲-۴ - حضور کاربیدهای بین دندریتی
۹۳	شکل ۳-۴ - حضور کاربیدهای بین دندریتی
۹۴	شکل ۴-۴ - کاربیدهای تراشه ای(script) و حفره انقباضی
۹۴	شکل ۵-۴ - حضور کاربیدهای مستقل در زمینه
۹۴	شکل ۶-۴ - کاربیدهای منقطع در مرز.....
۹۴	شکل ۷-۴ - مورفولوژی کاربیدهای مرزی
۹۴	شکل ۸-۴ - مورفولوژی سر چکشی کاربید مرزی
۹۵	شکل ۹-۴ - کاربیدهای تراشه ای و منقطع مرزی
۹۶	شکل ۱۰-۴ - کاربیدهای تراشه ای(script)
۹۶	شکل ۱۱-۴ - کاربیدهای مرزی
۹۷	شکل ۱۲-۴ - دانه بندی و جهت گیری دندریتها به همراه توزیع کاربیدها- بزرگنمایی 50X
۹۷	شکل ۱۳-۴ - دانه بندی و جهت گیری دندریتها - بزرگنمایی 100X
۹۸	شکل ۱۴-۴ - کاربیدهای بین دندریتی و رسوبات گاما پرایم- بزرگنمایی 400X
۹۸	شکل ۱۵-۴ - رسوبات گاما پرایم- بزرگنمایی 1000X
۹۸	شکل ۱۶-۴ - رسوبات گاما پرایم و کاربید مستقل در زمینه
۹۸	شکل ۱۷-۴ - کاربیدهای مرزی
۹۹	شکل ۱۸-۴ - نمونه عملیات حرارتی شده در 0°C 1120 - بزرگنمایی 400X
۱۰۰	شکل ۱۹-۴ - نمونه عملیات حرارتی شده در 0°C 1120 - بزرگنمایی 1000X
۱۰۰	شکل ۲۰-۴ - نمونه عملیات حرارتی شده در 0°C 1120 - بزرگنمایی 3000X
۱۰۰	شکل ۲۱-۴ - نمونه عملیات حرارتی شده در 0°C 1150 - بزرگنمایی 400X
۱۰۱	شکل ۲۲-۴ - نمونه عملیات حرارتی شده در 0°C 1150 - بزرگنمایی 1000X
۱۰۱	شکل ۲۳-۴ - نمونه عملیات حرارتی شده در 0°C 1150 - بزرگنمایی 3000X
۱۰۱	شکل ۲۴-۴ - نمونه عملیات حرارتی شده در 0°C 1180 - بزرگنمایی 400X
۱۰۲	شکل ۲۵-۴ - نمونه عملیات حرارتی شده در 0°C 1180 - بزرگنمایی 1000X
۱۰۲	شکل ۲۶-۴ - نمونه عملیات حرارتی شده در 0°C 1180 - بزرگنمایی 3000X
۱۰۲	شکل ۲۷-۴ - نمونه عملیات حرارتی شده در 0°C 1200 - بزرگنمایی 400X
۱۰۳	شکل ۲۸-۴ - نمونه عملیات حرارتی شده در 0°C 1200 - بزرگنمایی 1000X
۱۰۳	شکل ۲۹-۴ - نمونه عملیات حرارتی شده در 0°C 1200 - بزرگنمایی 3000X
۱۰۵	شکل ۳۰-۴ - ساختار جوش و ترک HAZ در نمونه جوشکاری شده با 100X-40A
۱۰۵	شکل ۳۱-۴ - نفوذ مذاب به مرزدانه های HAZ در نمونه جوشکاری شده با 1000X-40A
۱۰۵	شکل ۳۲-۴ - ترکیدگی HAZ در نمونه جوشکاری شده با 200X-50A
۱۰۵	شکل ۳۳-۴ - ساختار فلز جوش در نمونه جوشکاری شده با 400X-50A

فهرست تصاویر

صفحه	تصویر
۱۰۶	شکل ۴-۳۴-۴- ترکیدگی فلز جوش در نمونه جوشکاری شده با A-60A 200X
۱۰۶	شکل ۴-۳۵-۴- ترکیدگی HAZ و فلز جوش در نمونه جوشکاری شده با A-60A 200X
۱۰۶	شکل ۴-۳۶-۴- ترکیدگی شدید جوش در نمونه جوشکاری شده با A-40A 50X
۱۰۷	شکل ۴-۳۷-۴- حضور کاربیدهای MC در محل ترک
۱۰۷	شکل ۴-۳۸-۴- دوب ترکیبی کاربید در محل ترک
۱۰۸	شکل ۴-۳۹-۴- ترکیدگی در فلز جوش a) مرکز دندربیت (ناحیه مشخص شده) b) ناحیه بین دندربیت (ناحیه مشخص شده)
۱۱۰	شکل ۴-۴۰-۴- مقطع عرضی جوش - بزرگنمایی 50X keyhole
۱۱۰	شکل ۴-۴۱-۴- خط جوش - بزرگنمایی 200X
۱۱۰	شکل ۴-۴۲-۴- مقطع طولی - بزرگنمایی 50X
۱۱۱	شکل ۴-۴۳-۴- فازهای غنی از Nb تشکیل شده درون ترک فلز جوش a) خط مرکزی جوش b) نواحی کناری فلز جوش
۱۱۱	شکل ۴-۴۴-۴- مقایسه نواحی بین دندربیت و مرکز دندربیتها a) ناحیه بین دندربیت b) مرکز دندربیت
۱۱۲	شکل ۴-۴۵-۴- مقطع عرضی جوش - بزرگنمایی 50X keyhole
۱۱۲	شکل ۴-۴۶-۴- مقطع طولی - بزرگنمایی 50X
۱۱۳	شکل ۴-۴۷-۴- فازهای داخل ترک گرم
۱۱۳	شکل ۴-۴۸-۴- مقایسه نواحی بین دندربیت و مرکز دندربیتها a) ناحیه بین دندربیت b) مرکز دندربیت
۱۱۴	شکل ۴-۴۹-۴- مقطع عرضی جوش - بزرگنمایی 50X keyhole
۱۱۴	شکل ۴-۵۰-۴- مقطع طولی - بزرگنمایی 50X
۱۱۵	شکل ۴-۵۱-۴- فاز غنی از Nb و Zr درون ترک انجامدادی
۱۱۵	شکل ۴-۵۲-۴- مقایسه نواحی بین دندربیت و مرکز دندربیتها a) ناحیه بین دندربیت b) مرکز دندربیت

فصل اول

مقدمه

فصل اول: مقدمه

سوپر آلیازها گروهی از مواد هستند که تعیین مرزی دقیق برای آن‌ها بسیار مشکل است. به هر حال تعریفی که از سال‌ها پیش برای این گروه از مواد به کار رفته است به طور مستدلی قابل قبول است.

"سوپر آلیاز، آلیازی" است که برای کاربرد دمای بالا توسعه یافته است و معمولاً بر پایه‌ی عناصر واسطه می‌باشد. به طوری که خواص مکانیکی و پایداری سطحی بالایی از آن انتظار می‌رود. "سوپر آلیازها" به سه گروه کلی تقسیم می‌شوند که عبارتند از سوپر آلیازهای پایه نیکل، سوپر آلیازهای پایه کبالت و سوپر آلیازهای پایه آهن؛ علاوه بر این، یک زیرگروه عمده نیز وجود دارد که خواص متالورژیکی بسیار مشابهی با آلیازهای پایه نیکل دارد اما شامل مقدار نسبتاً زیادی آهن می‌باشد. لذا سوپر آلیازهای پایه نیکل - آهن نامیده می‌شوند [1].

اما تعداد کمی از این آلیازها که به عنوان سوپر آلیاز شناخته می‌شوند، می‌توانند برای دوره‌های طولانی زمانی در دمای بالا قرار گیرند. در میان آن‌ها سوپر آلیازهای پایه نیکل به طور گسترده‌ای برای اجزاء موتورهای جت و توربین‌های گازی - که به مواد ویژه با مقاومت به اکسیداسیون و کارایی مکانیکی بالا در گستره‌ی زیاد دمایی، نیاز دارند - به کار می‌رود. بسیاری از سوپر آلیازهای پایه نیکل از محلول جامد فاز γ و فاز رسوبات γ' $\text{Ni}_3(\text{Al},\text{Ti})$ که با زمینه به صورت همدوس هستند و انواع متنوعی از کاربید‌ها و سایر فازها که در زمینه و در طول مرزدانه‌ها توزیع پیدا کرده‌اند، تشکیل شده‌اند [2].

به منظور پاسخ به تقاضای روزافزون برای افزایش دمای کاری این موتورها، طراحی روش‌ها و آلیازهای پیشرفته به کار گرفته شد که به دو جنبه‌ی ریز ساختاری عمده در سوپر آلیاز‌های پایه نیکلی منجر گردید: ۱) مرزدانه‌های کمتر ۲) پایداری بالاتر و کسر حجمی بیشتر فاز γ .

کاهش تعداد مرزدانه ها از طریق استفاده از آلیاز انجام داده است که در اینجا مذکور شد. این مرزدانه ها از تک کریستال ها و افزایش کسر حجمی و پایداری γ از طریق افزودن عناصر آلیازی سازنده γ -Al-Ti میسر می باشد [3].

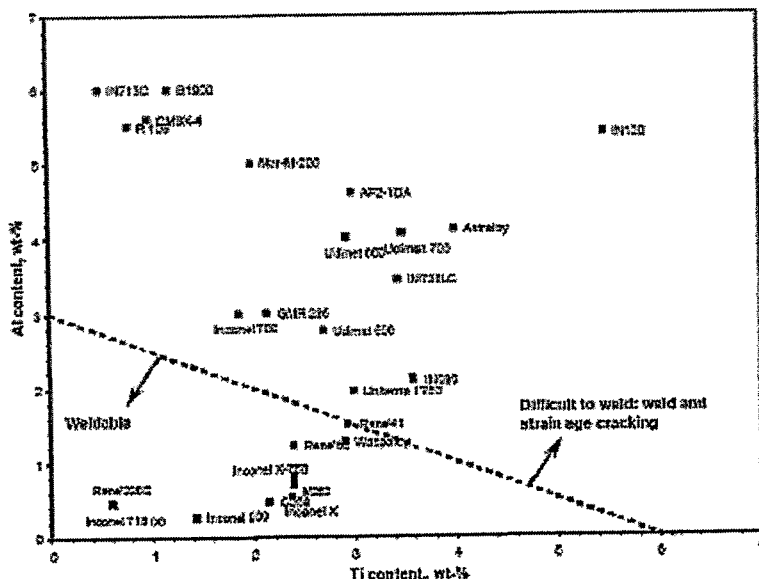
جوش پذیری سوپر آلیازهای مقاوم به حرارت پایه نیکل به خاطر کاربرد گسترده γ جوشکاری در ساخت و تعمیر اجزاء بخش داغ در توربین های گازی صنعتی و هوایی که از این ماده تولید می شوند، اهمیت زیادی یافته است. پیشرفت های ساختاری در جوش های سوپر آلیازی که به میزان زیادی کنترل کننده γ خواص و اعتبار جوشکاری شده است، می تواند به شکل مهمی با ریز جدایش و استحاله γ فازی غیر تعادلی که در حین انجام اتفاق می افتد تحت تأثیر قرار گیرد [4] لذا بیشترین تلاش ها بر روی تحقیقات جوش پذیری و اجتناب از مشکلاتی نظیر ترکیدگی انجام داده اند. جوش، ترکیدگی ذوبی در HAZ و یا ترک پیر کرنشی معطوف شده است [5].

سوپر آلیازهای استحکام یافته با رسوبات γ استعداد بالایی به ترکیدگی در حین جوشکاری دارند [6]. عموماً جوشکاری آن دسته از سوپر آلیازهای پایه نیکلی که دارای مقادیر بالای Al، Ti هستند ($>6\% \text{wt}$) بسیار مشکل است. زیرا حساسیت بالایی به ترک در HAZ در حین جوش و عملیات حرارتی پس از جوش و عملیات حرارتی پس از جوش از طریق ترک پیر کرنشی دارد [7]. این پدیده قبل از همه به میزان γ -Al، Ti که به طور مستقیم با میزان فاز γ در ارتباط است - مرتبط می باشد. جوش پذیری و خواص مکانیکی آلیازهای رسوب سخت قویاً به کمیت و مورفولوژی فاز بین فلزی γ بستگی دارد [6].

وجود این ترک ها در این سوپر آلیازها مشکلی جدی است که عموماً کاربرد جوشکاری ذوبی را برای اتصال سوپر آلیازهای پایه نیکل پیشرفت محدود می سازد [3]. همچنین ترکیدگی در حین جوش در این آلیازها به طور عمده به تنی های انقباضی شدید ناشی از رسوب سریع رسوبات γ و یا فازهای انجام داده ای نهایی در مرزدانه های HAZ نیز در بروز ترک دخیل هستند [8,9].

آلیاژ اینکونول LC ۲۱۳ یک سوپر آلیاژ ریختگی پایه نیکل کم کربن است که بدون انجام هرگونه عملیات حرارتی استفاده می شود. این آلیاژ علاوه بر مقاومت قابل توجه به خوردگی داغ، استحکام و پایداری دمای بالا و داکتیلیته‌ی دمای متوسط عالی را از طریق رسوب سختی به وسیله فاز منظم γ (L12) ارائه می کند. خواص ذکر شده، این آلیاژ را به یکی از آلیاژهای پرکاربرد دمای بالا که عموماً در ساخت اجزاء موتور هواییما مورد استفاده قرار می گیرد، تبدیل کرده است [9].

این آلیاژ به خاطر مقادیر بالای Ti, Al, HAZ و PWHT حساس است [8,4].
به خاطر میزان بالای فاز ناشی از غلظت Al، Ti بیشتر از یک مقدار بحرانی، این آلیاژ از جمله آلیاژهای جوش ناپذیر محسوب می‌شود. بر اساس مطالعات Mikolowski [10] این مقادیر بحرانی 6%Ti، 3%Al از لحاظ وزنی می‌باشد؛ و بر اساس مطالعات Henderson [11] میزان کل Al، Ti باید از ۴% تجاوز کند. با توجه به دیاگرام های موجود، میزان فاز بین فلزی در این آلیاژ از ۵۰% تجاوز می‌کند؛ لذا به نظر می‌رسد یکی از سوپرآلیاژهایی است که مشکل ترین جوشکاری را دارد و حتی ممکن است کاملاً جوش ناپذیر باشد. این آلیاژ پلاستیسیته‌ی کمی را نشان می‌دهد ($A = 6\%$) که تمایل به ترک در HAZ را افزایش می‌دهد [6].



شکل ۱-۱- مقایسه جوش پذیری سوپرآلیاژهای مختلف [12]